

ANALIZA FOURIERA W PRZETWARZANIU SYGNAŁÓW

PRACA ZALICZENIOWA

Rafał Kluszczyński

Luty 2005

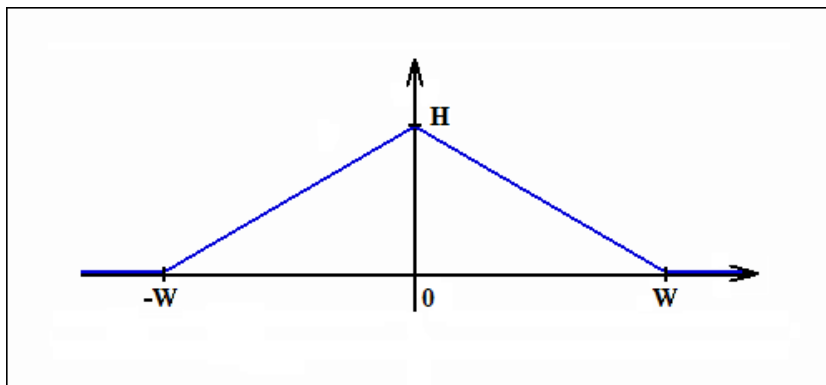
Zadania

1	Aliasing	5
1.1	Częstotliwość próbkowania $\nu \leq \frac{1}{2W}$	7
1.2	Częstotliwość próbkowania $\nu \in (\frac{1}{2W}, \frac{1}{W}]$	9
1.3	Częstotliwość próbkowania $\nu > \frac{1}{W}$	13
1.3.1	Przypadek gdy $\hat{f}(2(n+1)B) = 0$	13
1.3.2	Przypadek gdy $\hat{f}(2(n+1)B) > 0$	14
2	Standardowe Filtry	17
2.1	Filtr RC	19
2.2	Obwód RLC	21
2.2.1	Przypadek gdy $\Delta < 0$ (czyli $R < 2\sqrt{\frac{L}{C}}$)	22
2.2.2	Przypadek gdy $\Delta = 0$ (czyli $R = 2\sqrt{\frac{L}{C}}$)	26
2.2.3	Przypadek gdy $\Delta > 0$ (czyli $R > 2\sqrt{\frac{L}{C}}$)	27
2.3	Filtr drugiego rzędu $-\frac{1}{\omega^2}g'' + g = f$	30
2.4	Obwód całkujący i różniczkujący	32
2.4.1	Układ całkujący $g' = f$	32
2.4.2	Układ różniczkujący $g = f'$	34
3	Układ elektryczny	35
3.1	Równanie filtru	37
3.2	Transmitancja i krok odpowiedzi	38
3.3	Przypadek, gdy $r \ll R$	40

Zadanie 1

Aliasing

Znaleźć reprezentację sygnału powstałego poprzez próbkowanie sygnału po widmie trójkątnym przedstawionym na rysunku (1.1),



Rysunek 1.1 Widmo sygnału

z częstotliwością próbkowania $\frac{1}{2B}$, gdzie $B < W$.

1.1 Częstotliwość próbkowania $\nu \leq \frac{1}{2W}$

Na początek zajmiemy się znalezieniem reprezentacji sygnału uzyskanej w wyniku próbkowania z częstotliwością $\nu = \frac{1}{2B} \leq \frac{1}{2W}$. W tym przypadku zachodzi nierówność $B \geq W$, natomiast widmo sygnału przedstawione na rysunku (1.1) opisane jest wzorem:

$$\hat{f}(\lambda) = \begin{cases} \frac{H}{W}\lambda + H & \text{dla } -W \leq \lambda \leq 0, \\ -\frac{H}{W}\lambda + H & \text{dla } 0 < \lambda \leq W, \\ 0 & \text{dla } |\lambda| > W. \end{cases} \quad (1.1)$$

Skoro $B \geq W$, to widzimy, że widma sygnału nie będą się na siebie nakładać, czyli otrzymany sygnał nie będzie zniekształcony, a jego reprezentację otrzymamy następująco:

$$\begin{aligned} (\tilde{f})(x) &= \int_{\mathcal{R}^1} (\hat{f}(\lambda) \mathbf{1}_{[-B,B]}(\lambda)) e^{2i\pi\lambda x} d\lambda = \int_{-B}^B \hat{f}(\lambda) e^{2i\pi\lambda x} d\lambda \\ &= \int_{-W}^W \hat{f}(\lambda) e^{2i\pi\lambda x} d\lambda = \int_{-W}^0 \hat{f}(\lambda) e^{2i\pi\lambda x} d\lambda + \int_0^W \hat{f}(\lambda) e^{2i\pi\lambda x} d\lambda \\ &= \int_{-W}^0 \left(\frac{H}{W}\lambda + H\right) e^{2i\pi\lambda x} d\lambda + \int_0^W \left(-\frac{H}{W}\lambda + H\right) e^{2i\pi\lambda x} d\lambda \\ &= \frac{H}{W} \int_{-W}^0 \lambda e^{2i\pi\lambda x} d\lambda - \frac{H}{W} \int_0^W \lambda e^{2i\pi\lambda x} d\lambda + H \int_{-W}^W e^{2i\pi\lambda x} d\lambda = (*) \end{aligned}$$

Obliczymy teraz całkę nieoznaczoną wykorzystując metodę całkowania przez części,

- dla $x \neq 0$:

$$\begin{aligned} \int \lambda e^{2i\pi\lambda x} d\lambda &= \frac{1}{2i\pi x} \lambda e^{2i\pi\lambda x} - \frac{1}{2i\pi x} \int e^{2i\pi\lambda x} d\lambda \\ &= \frac{1}{2i\pi x} \lambda e^{2i\pi\lambda x} - \frac{1}{(2i\pi x)^2} e^{2i\pi\lambda x} \\ &= \frac{1}{2i\pi x} \lambda e^{2i\pi\lambda x} + \frac{1}{4\pi^2 x^2} e^{2i\pi\lambda x} \end{aligned}$$

- dla $x = 0$:

$$\int \lambda e^{2i\pi\lambda x} d\lambda = \int \lambda e^{2i\pi\lambda 0} d\lambda = \int \lambda e^0 d\lambda = \int \lambda d\lambda = \frac{1}{2}\lambda^2$$

Podstawiając wynik całki do przerwanych wcześniej obliczeń szukanego sygnału otrzymujemy:

- dla $x \neq 0$

$$\begin{aligned} (*) &= \frac{H}{W} \left[\frac{1}{2i\pi x} \lambda e^{2i\pi\lambda x} + \frac{1}{4\pi^2 x^2} e^{2i\pi\lambda x} \right]_{\lambda=-W}^0 - \frac{H}{W} \left[\frac{1}{2i\pi x} \lambda e^{2i\pi\lambda x} \right. \\ &\quad \left. + \frac{1}{4\pi^2 x^2} e^{2i\pi\lambda x} \right]_{\lambda=0}^W + H \left[\frac{1}{2i\pi x} e^{2i\pi\lambda x} \right]_{\lambda=-W}^W \\ &= \frac{H}{W} \left(0 + \frac{1}{4\pi^2 x^2} + \frac{W}{2i\pi x} e^{-2i\pi W x} - \frac{1}{4\pi^2 x^2} e^{-2i\pi W x} \right) - \frac{H}{W} \left(\frac{W}{2i\pi x} e^{2i\pi W x} \right. \\ &\quad \left. + \frac{1}{4\pi^2 x^2} e^{2i\pi W x} - 0 - \frac{1}{4\pi^2 x^2} \right) + \frac{H}{2i\pi x} (e^{2i\pi W x} - e^{-2i\pi W x}) \\ &= \frac{H}{W} \left(\frac{W}{2i\pi x} e^{-2i\pi W x} - \frac{W}{2i\pi x} e^{2i\pi W x} - \frac{1}{4\pi^2 x^2} e^{-2i\pi W x} - \frac{1}{4\pi^2 x^2} e^{2i\pi W x} \right. \\ &\quad \left. + \frac{2}{4\pi^2 x^2} \right) + \frac{H}{2i\pi x} (e^{2i\pi W x} - e^{-2i\pi W x}) \\ &= -\frac{H}{2i\pi x} (e^{2i\pi W x} - e^{-2i\pi W x}) + \frac{H}{W} \frac{1}{4\pi^2 x^2} (2 - e^{2i\pi W x} - e^{-2i\pi W x}) \\ &\quad + \frac{H}{2i\pi x} (e^{2i\pi W x} - e^{-2i\pi W x}) \\ &= \frac{H}{W} \frac{1}{2\pi^2 x^2} \left(1 - \frac{e^{2i\pi W x} + e^{-2i\pi W x}}{2} \right) = \frac{H}{2W\pi^2 x^2} (1 - \cos(2\pi W x)) \\ &= \frac{H}{2W\pi^2 x^2} 2 \sin^2(\pi W x) = HW \frac{\sin^2(\pi W x)}{(\pi W x)^2} = HW \operatorname{sinc}^2(Wx) \end{aligned}$$

- dla $x = 0$

$$\begin{aligned} (*) &= \frac{H}{W} \int_{-W}^0 \lambda e^{2i\pi\lambda 0} d\lambda - \frac{H}{W} \int_0^W \lambda e^{2i\pi\lambda 0} d\lambda + H \int_{-W}^W e^{2i\pi\lambda 0} d\lambda \\ &= \frac{H}{W} \left[\frac{1}{2} \lambda^2 \right]_{\lambda=-W}^0 - \frac{H}{W} \left[\frac{1}{2} \lambda^2 \right]_{\lambda=0}^W + H [\lambda]_{-W}^W \\ &= \frac{H}{W} \left(0 - \frac{1}{2} W^2 \right) - \frac{H}{W} \left(\frac{1}{2} W^2 - 0 \right) + 2HW \\ &= -\frac{1}{2} HW - \frac{1}{2} HW + 2HW = HW \end{aligned}$$

Reasumując, w wyniku prawidłowego, według twierdzenia *Shannona-Nyquista*, próbkowania widma sygnału przedstawionego na rysunku (1.1), otrzymaliśmy następującą postać sygnału f :

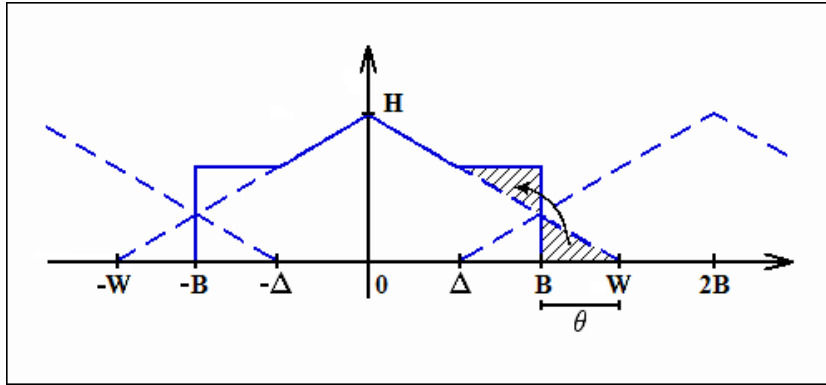
$$f(x) = \begin{cases} HW \operatorname{sinc}^2(xW) & \text{dla } x \neq 0, \\ HW & \text{dla } x = 0. \end{cases} \quad (1.2)$$

1.2 Częstotliwość próbkowania $\nu \in (\frac{1}{2W}, \frac{1}{W}]$

Rozważymy teraz co się stanie, gdy weźmiemy nieprawidłową częstotliwość próbkowania ν . Załóżmy narazie, że $\nu \in (\frac{1}{2W}, \frac{1}{W}]$. Wiemy wówczas, iż

$$\frac{W}{2} \leq B < W.$$

Zatem może dojść do nałożenia się widm w sposób przedstawiony na rysunku (1.2).



Rysunek 1.2 Nakładanie się widm.

Wprowadzając następujące oznaczenia

$$\theta = W - B,$$

$$\Delta = B - \theta = 2B - W,$$

których interpretację przedstawia rysunek (1.2), określamy funkcję opisującą zakłócone widmo:

$$g(\lambda) = \begin{cases} \hat{f}(\lambda) & \text{dla } |\lambda| \leq \Delta, \\ \hat{f}(\Delta) & \text{dla } \Delta < |\lambda| \leq B, \\ 0 & \text{dla } |\lambda| > B. \end{cases}$$

Następnie określamy reprezentację zakłóconego sygnału następująco:

$$\begin{aligned} \tilde{f}(x) &= \int_{\mathcal{R}^1} g(\lambda) e^{2i\pi\lambda x} d\lambda = \int_{-B}^B g(\lambda) e^{2i\pi\lambda x} d\lambda = \int_{-B}^{-\Delta} \hat{f}(\Delta) e^{2i\pi\lambda x} d\lambda \\ &\quad + \int_{-\Delta}^0 \hat{f}(\lambda) e^{2i\pi\lambda x} d\lambda + \int_0^{\Delta} \hat{f}(\lambda) e^{2i\pi\lambda x} d\lambda + \int_{\Delta}^B \hat{f}(\Delta) e^{2i\pi\lambda x} d\lambda \\ &= \int_{-B}^{-\Delta} \left(-\frac{H}{W}\Delta + H\right) e^{2i\pi\lambda x} d\lambda + \int_{-\Delta}^0 \left(\frac{H}{W}\lambda + H\right) e^{2i\pi\lambda x} d\lambda \\ &\quad + \int_0^{\Delta} \left(-\frac{H}{W}\lambda + H\right) e^{2i\pi\lambda x} d\lambda + \int_{\Delta}^B \left(-\frac{H}{W}\Delta + H\right) e^{2i\pi\lambda x} d\lambda \\ &= \left(-\frac{H}{W}\Delta + H\right) \int_{-B}^{-\Delta} e^{2i\pi\lambda x} d\lambda + \frac{H}{W} \int_{-\Delta}^0 \lambda e^{2i\pi\lambda x} d\lambda + H \int_{-\Delta}^0 e^{2i\pi\lambda x} d\lambda \\ &\quad - \frac{H}{W} \int_0^{\Delta} \lambda e^{2i\pi\lambda x} d\lambda + H \int_0^{\Delta} e^{2i\pi\lambda x} d\lambda + \left(-\frac{H}{W}\Delta + H\right) \int_{\Delta}^B e^{2i\pi\lambda x} d\lambda = \\ &= \frac{H}{W} \int_{-\Delta}^0 \lambda e^{2i\pi\lambda x} d\lambda - \frac{H}{W} \int_0^{\Delta} \lambda e^{2i\pi\lambda x} d\lambda + H \int_{-\Delta}^{\Delta} e^{2i\pi\lambda x} d\lambda \\ &\quad + H\left(1 - \frac{\Delta}{W}\right) \left(\int_{-B}^{-\Delta} e^{2i\pi\lambda x} d\lambda + \int_{\Delta}^B e^{2i\pi\lambda x} d\lambda\right) = (*) \end{aligned}$$

• $x \neq 0$

$$\begin{aligned} (*) &= \frac{H}{W} \left[\frac{1}{2i\pi x} \lambda e^{2i\pi\lambda x} + \frac{1}{4\pi^2 x^2} e^{2i\pi\lambda x} \right]_{\lambda=-\Delta}^0 - \frac{H}{W} \left[\frac{1}{2i\pi x} \lambda e^{2i\pi\lambda x} \right. \\ &\quad \left. + \frac{1}{4\pi^2 x^2} e^{2i\pi\lambda x} \right]_{\lambda=0}^{\Delta} + H \left[\frac{1}{2i\pi x} e^{2i\pi\lambda x} \right]_{\lambda=-\Delta}^{\Delta} \\ &\quad + H\left(1 - \frac{\Delta}{W}\right) \left(\left[\frac{1}{2i\pi x} e^{2i\pi\lambda x} \right]_{\lambda=-B}^{-\Delta} + \left[\frac{1}{2i\pi x} e^{2i\pi\lambda x} \right]_{\lambda=\Delta}^B \right) \end{aligned}$$

$$\begin{aligned}
&= \frac{H}{W} \left(\frac{1}{4\pi^2 x^2} + \frac{\Delta}{2i\pi x} e^{-2i\pi x \Delta} - \frac{1}{4\pi^2 x^2} e^{-2i\pi x \Delta} - \frac{H}{W} \left(\frac{\Delta}{2i\pi x} e^{2i\pi x \Delta} \right. \right. \\
&\quad \left. \left. + \frac{1}{4\pi^2 x^2} e^{2i\pi x \Delta} - \frac{1}{4\pi^2 x^2} \right) + \frac{H}{\pi x} \frac{(e^{2i\pi x \Delta} - e^{-2i\pi x \Delta})}{2i} \right. \\
&\quad \left. + \frac{H(1 - \frac{\Delta}{W})}{2i\pi x} (e^{-2i\pi x \Delta} - e^{-2i\pi x B} + e^{2i\pi x B} - e^{2i\pi x \Delta}) \right) \\
&= \frac{H}{W} \left(\frac{1}{2\pi^2 x^2} - \frac{\Delta}{\pi x} \frac{(e^{2i\pi x \Delta} - e^{-2i\pi x \Delta})}{2i} - \frac{1}{2\pi^2 x^2} \frac{(e^{2i\pi x \Delta} + e^{-2i\pi x \Delta})}{2} \right) \\
&\quad + \frac{H}{\pi x} \sin(2\pi x \Delta) + \frac{H(1 - \frac{\Delta}{W})}{\pi x} (\sin(2\pi x B) - \sin(2\pi x \Delta)) \\
&= \frac{H}{W} \left(\frac{1}{2\pi^2 x^2} - \frac{\Delta}{\pi x} \sin(2\pi x \Delta) - \frac{1}{2\pi^2 x^2} \cos(2\pi x \Delta) + \frac{W}{\pi x} \sin(2\pi x \Delta) \right) \\
&\quad + \frac{H(1 - \frac{\Delta}{W})}{\pi x} (\sin(2\pi x B) - \sin(2\pi x \Delta)) \\
&= \frac{H}{2\pi^2 x^2 W} (1 - \cos(2\pi x \Delta)) + \frac{H}{W} \frac{W - \Delta}{\pi x} \sin(2\pi x \Delta) \\
&\quad + \frac{H(W - \Delta)}{\pi x W} (\sin(2\pi x B) - \sin(2\pi x \Delta)) \\
&= \frac{H}{2\pi^2 x^2 W} 2\sin^2(\pi x \Delta) + \frac{H}{W} \frac{2\theta}{\pi x} \sin(2\pi x \Delta) \\
&\quad + \frac{2H\theta}{\pi x W} (\sin(2\pi x B) - \sin(2\pi x \Delta)) \\
&= \frac{H\Delta^2}{W} \frac{\sin^2(\pi x \Delta)}{(\pi x \Delta)^2} + \frac{2H}{\pi x W} \theta (\sin(2\pi x \Delta) + \sin(2\pi x B) - \sin(2\pi x \Delta)) \\
&= \frac{H\Delta^2}{W} \text{sinc}^2(x\Delta) + \frac{2H}{\pi x W} \theta \sin(2\pi x B)
\end{aligned}$$

• $x = 0$

$$\begin{aligned}
(*) &= \frac{H}{W} \int_{-\Delta}^0 \lambda e^0 d\lambda - \frac{H}{W} \int_0^\Delta \lambda e^0 d\lambda + H \int_{-\Delta}^\Delta e^0 d\lambda \\
&\quad + \frac{H}{W} (W - \Delta) \left(\int_{-B}^{-\Delta} e^0 d\lambda + \int_\Delta^B e^0 d\lambda \right) \\
&= \frac{H}{W} \int_{-\Delta}^0 \lambda d\lambda - \frac{H}{W} \int_0^\Delta \lambda d\lambda + H \int_{-\Delta}^\Delta d\lambda + 2 \frac{H}{W} \theta \left(\int_{-B}^{-\Delta} d\lambda + \int_\Delta^B d\lambda \right)
\end{aligned}$$

$$\begin{aligned}
&= \frac{H}{2W}[\lambda^2]_{\lambda=-\Delta}^0 - \frac{H}{2W}[\lambda^2]_{\lambda=0}^{\Delta} + H[\lambda]_{\lambda=-\Delta}^{\Delta} + 2\frac{H}{W}\theta([\lambda]_{\lambda=-B}^{-\Delta} + [\lambda]_{\lambda=\Delta}^B) \\
&= -\frac{H}{2W}\Delta^2 - \frac{H}{2W}\Delta^2 + 2H\Delta + 2\frac{H}{W}\theta(-\Delta + B + B - \Delta) \\
&= -\frac{H}{W}\Delta^2 + 2H\Delta + 4\frac{H}{W}\theta(B - \Delta) = 2H\Delta - \frac{H}{W}\Delta^2 + 4\frac{H}{W}\theta^2 \\
&= \frac{H}{W}\Delta(2W - \Delta) + 4\frac{H}{W}\theta^2
\end{aligned}$$

Podsumowując, reprezentacja sygnału powstała w wyniku próbkowania z częstotliwością $\nu \in (\frac{1}{2W}, \frac{1}{W}]$ wygląda:

$$\tilde{f}(x) = \begin{cases} \frac{H\Delta^2}{W}\text{sinc}^2(x\Delta) + \frac{2H}{\pi x W}\theta \sin(2\pi x B) & \text{dla } x \neq 0, \\ \frac{H}{W}\Delta(2W - \Delta) + 4\frac{H}{W}\theta^2 & \text{dla } x = 0, \end{cases} \quad (1.3)$$

gdzie $\theta = W - B$, oraz $\Delta = 2B - W$.

Widzimy, że sygnał ten różni się od przedstawionego równaniem (1.2). Zawiera on m.in. dodatkowe składniki w rozwiązaniu, które odpowiadają właśnie za zniekształcenie sygnału, czyli tzw. zjawisko *aliasingu*. Zauważamy jednak, iż wykonując przejście graniczne $B \rightarrow W$ otrzymujemy wzór (1.2), czyli zniekształcenia znikają. Wynika to z tego, iż skoro $B \rightarrow W$, to

$$\theta \rightarrow 0,$$

$$\Delta \rightarrow 2W - W = W,$$

a stąd otrzymujemy

- dla $x \neq 0$:

$$\tilde{f}(x) \longrightarrow \frac{HW^2}{W}\text{sinc}^2(xW) + \frac{2H}{\pi x W} 0 \sin(2\pi x B) = HW\text{sinc}^2(xW),$$

- dla $x = 0$:

$$\tilde{f}(x) \longrightarrow \frac{H}{W}W(2W - W) + 4\frac{H}{W} 0^2 = HW.$$

A zatem ostatecznie,

$$\tilde{f}(x) \xrightarrow{B \rightarrow W} f(x).$$

1.3 Częstotliwość próbkowania $\nu > \frac{1}{W}$

W tym przypadku, skoro $\nu = \frac{1}{2B} > \frac{1}{W}$, wnioskujemy iż $B < \frac{W}{2}$. A zatem na nasz przedział $[-B, B]$ może nachodzić większa niż jak to było w poprzedniej sekcji, ilość widm sygnału. Po pierwsze, określimy liczbę tych widm, które z jednej strony pokrywają przedział $[-B, B]$ na całej jego szerokości. Będzie to

$$n = \lfloor \frac{W - B}{2B} \rfloor.$$

Znając n , jesteśmy w stanie wyliczyć stałą, którą należy dodać do funkcji widma \hat{f} na przedziale $[-B, B]$ aby uwzględnić nakładanie się widm pokrywających ten przedział w całości,

$$S = \begin{cases} 2 \sum_{k=1}^n \hat{f}(2Bk) & n > 0, \\ 0 & n = 0, \end{cases}$$

Teraz w zależności od szerokości nałożenia ostatniego, nie w pełni pokrywającego przedział $[-B, B]$, widma, rozważymy osobno dwa przypadki.

1.3.1 Przypadek gdy $\hat{f}(2(n+1)B) = 0$

Zacniemy od sytuacji, gdy ostatnia, niepełna część nakładającego się widma jest szerokości mniejszej niż B , czyli niż połowa pasma $[-B, B]$.

Wprowadzimy następujące oznaczenia

$$\theta = W - (2n + 1)B,$$

$$\Delta = B - \theta = 2B(n + 1) - W,$$

mające podobną interpretację jak w poprzedniej sekcji.

Sygnał natomiast będzie obliczany następująco:

$$\begin{aligned} \tilde{f}_1(x) &= \int_{-B}^{-\Delta} (\hat{f}(-\Delta) + S) e^{2i\pi\lambda x} d\lambda + \int_{-\Delta}^{\Delta} (\hat{f}(\lambda) + S) e^{2i\pi\lambda x} d\lambda \\ &\quad + \int_{\Delta}^B (\hat{f}(\Delta) + S) e^{2i\pi\lambda x} d\lambda = S \int_{-B}^B e^{2i\pi\lambda x} d\lambda \\ &\quad + \int_{-B}^{-\Delta} \hat{f}(-\Delta) e^{2i\pi\lambda x} d\lambda + \int_{-\Delta}^{\Delta} \hat{f}(\lambda) e^{2i\pi\lambda x} d\lambda + \int_{\Delta}^B \hat{f}(\Delta) e^{2i\pi\lambda x} d\lambda \end{aligned}$$

Widzimy, że trzy ostatnie całki reprezentują sytuację jaką rozważaliśmy dla $\nu \in (\frac{1}{2W}, \frac{1}{W}]$. Skorzystamy zatem z wyników jakie tam otrzymaliśmy i zajmiemy się obliczeniem pozostałej całki z powyższej sumy, czyli

$$S \int_{-B}^B e^{2i\pi\lambda x} d\lambda = (*)$$

- dla $x \neq 0$:

$$(*) = S \left[\frac{1}{2i\pi x} e^{2i\pi\lambda x} \right]_{\lambda=-B}^B = \frac{S}{\pi x} \frac{(e^{2i\pi x B} - e^{-2i\pi x B})}{2i} = \frac{S}{\pi x} \sin(2\pi x B)$$

- dla $x = 0$:

$$(*) = S \int_{-B}^B e^0 d\lambda = S \int_{-B}^B d\lambda = S[\lambda]_{\lambda=-B}^B = S2B$$

A zatem ostateczna reprezentacja sygnału, przy warunku $\hat{f}(2(n+1)B) = 0$, przedstawia się następująco:

$$\tilde{f}_1(x) = \begin{cases} \frac{H\Delta^2}{W} \text{sinc}^2(x\Delta) + (\frac{S}{\pi x} + \frac{2H}{\pi x W} \theta) \sin(2\pi x B) & \text{dla } x \neq 0, \\ \frac{H}{W} \Delta(2W - \Delta) + 4\frac{H}{W} \theta^2 + 2BS & \text{dla } x = 0. \end{cases}$$

1.3.2 Przypadek gdy $\hat{f}(2(n+1)B) > 0$

Teraz rozważymy sytuację, gdy ostatnia, niepełna część nakładającego się widma jest szerokości większej niż połowa pasma $[-B, B]$.

W tym celu określamy następujące zmienne:

$$\Delta = W - 2B(n+1),$$

$$S_1 = S + 2\hat{f}(2(n+1)B),$$

$$S_2 = S + \hat{f}(0) + \hat{f}(2(n+1)B).$$

Reprezentacja szukanego sygnału w tym przypadku będzie się przedstawiać następująco:

$$\tilde{f}_2(x) = \int_{-B}^{-\Delta} S_2 e^{2i\pi\lambda x} d\lambda + \int_{-\Delta}^{\Delta} (\hat{f}(\lambda) + S_1) e^{2i\pi\lambda x} d\lambda + \int_{\Delta}^B S_2 e^{2i\pi\lambda x} d\lambda \quad (1.4)$$

Obliczymy najpierw środkową całkę:

$$\begin{aligned} \int_{-\Delta}^{\Delta} (\hat{f}(\lambda) + S_1) e^{2i\pi\lambda x} d\lambda &= \int_{-\Delta}^{\Delta} \hat{f}(\lambda) e^{2i\pi\lambda x} d\lambda + S_1 \int_{-\Delta}^{\Delta} e^{2i\pi\lambda x} d\lambda \\ &= \frac{H}{W} \left(\int_{-\Delta}^0 \lambda e^{2i\pi\lambda x} d\lambda - \int_0^{\Delta} \lambda e^{2i\pi\lambda x} d\lambda \right) + (H + S_1) \int_{-\Delta}^{\Delta} e^{2i\pi\lambda x} d\lambda = (*) \end{aligned}$$

- dla $x \neq 0$:

$$\begin{aligned} (*) &= \frac{H}{W} \left(\left[\frac{1}{2i\pi x} \lambda e^{2i\pi\lambda x} + \frac{1}{4\pi^2 x^2} e^{2i\pi\lambda x} \right]_{\lambda=-\Delta}^0 - \left[\frac{1}{2i\pi x} \lambda e^{2i\pi\lambda x} + \frac{1}{4\pi^2 x^2} e^{2i\pi\lambda x} \right]_{\lambda=0}^{\Delta} \right) + (H + S_1) \left[\frac{1}{2i\pi x} e^{2i\pi\lambda x} \right]_{\lambda=-\Delta}^{\Delta} \\ &= \frac{H}{W} \left(\frac{1}{2\pi^2 x^2} + \frac{\Delta}{2i\pi x} e^{-2i\pi x \Delta} - \frac{1}{4\pi^2 x^2} e^{-2i\pi x \Delta} - \frac{\Delta}{2i\pi x} e^{2i\pi x \Delta} - \frac{1}{4\pi^2 x^2} e^{2i\pi x \Delta} \right) + \frac{H + S_1}{2i\pi x} (e^{2i\pi x \Delta} - e^{-2i\pi x \Delta}) \\ &= \frac{H}{2\pi^2 x^2 W} \left(1 - \frac{e^{2i\pi x \Delta} + e^{-2i\pi x \Delta}}{2} \right) - \frac{H\Delta}{\pi x W} \frac{(e^{2i\pi x \Delta} - e^{-2i\pi x \Delta})}{2i} \\ &\quad + \frac{(H + S_1)}{\pi x} \frac{(e^{2i\pi x \Delta} - e^{-2i\pi x \Delta})}{2i} \\ &= \frac{H}{2\pi^2 x^2 W} (1 - \cos(2\pi x \Delta)) - \frac{H\Delta}{\pi x W} \sin(2\pi x \Delta) + \frac{(H + S_1)}{\pi x} \sin(2\pi x \Delta) \\ &= \frac{H}{\pi^2 x^2 W} \sin^2(\pi x \Delta) + \frac{W(H + S_1) - H\Delta}{\pi x W} \sin(2\pi x \Delta) \\ &= \frac{H\Delta^2}{W} \operatorname{sinc}^2(x\Delta) + \frac{H(W - \Delta) + S_1 W}{\pi x W} \sin(2\pi x \Delta) \end{aligned}$$

- dla $x = 0$:

$$\begin{aligned} &= \frac{H}{W} \left(\int_{-\Delta}^0 \lambda d\lambda - \int_0^{\Delta} \lambda d\lambda \right) + (H + S_1) \int_{-\Delta}^{\Delta} d\lambda = \frac{H}{2W} (-\Delta^2 - \Delta^2) \\ &\quad + 2\Delta(H + S_1) = 2\Delta(H + S_1) - \frac{H\Delta^2}{W} \end{aligned}$$

Następnie rozwiązujemy dwie skrajne całki z równania (1.4):

$$S_2(\int_{-B}^{-\Delta} e^{2i\pi\lambda x} d\lambda + \int_{\Delta}^B e^{2i\pi\lambda x} d\lambda) = (**)$$

- dla $x \neq 0$:

$$\begin{aligned} (**) &= \frac{S_2}{2i\pi x} ([e^{2i\pi\lambda x}]_{\lambda=-B}^{-\Delta} + [e^{2i\pi\lambda x}]_{\lambda=\Delta}^B) \\ &= \frac{S_2}{\pi x} \left(\frac{e^{2i\pi x B} - e^{-2i\pi x B}}{2i} - \frac{e^{2i\pi x \Delta} - e^{-2i\pi x \Delta}}{2i} \right) \\ &= \frac{S_2}{\pi x} (\sin(2\pi x B) - \sin(2\pi x \Delta)) \end{aligned}$$

- dla $x = 0$:

$$(**) = S_2(\int_{-B}^{-\Delta} d\lambda + \int_{\Delta}^B d\lambda) = S_2([\lambda]_{\lambda=-B}^{-\Delta} + [\lambda]_{\lambda=\Delta}^B) = 2S_2(B - \Delta)$$

Sumując oba rozwiązania mamy sygnał postaci

$$\tilde{f}_2(x) = \begin{cases} \frac{H\Delta^2}{W} \text{sinc}^2(x\Delta) + \left(\frac{H(W-\Delta)}{\pi x W} + \frac{S_1}{\pi x} \right) \sin(2\pi x \Delta) \\ \quad + \frac{S_2}{\pi x} (\sin(2\pi x B) - \sin(2\pi x \Delta)) & \text{dla } x \neq 0, \\ 2\Delta(H + S_1) - \frac{H\Delta^2}{W} + 2S_2(B - \Delta) & \text{dla } x = 0. \end{cases}$$

Wiedząc, że

$$\begin{aligned} S_1 - S_2 &= (S + 2\hat{f}(2(n+1)B)) - (S + \hat{f}(0) + \hat{f}(2(n+1)B)) \\ &= \hat{f}(2(n+1)B) - \hat{f}(0) = \hat{f}(2(n+1)B) - H, \end{aligned}$$

oraz upraszczając powyższą postać otrzymujemy ostatecznie następującą reprezentację sygnału:

$$\tilde{f}_2(x) = \begin{cases} \frac{H\Delta^2}{W} \text{sinc}^2(x\Delta) + \frac{S_2}{\pi x} \sin(2\pi x B) \\ \quad + \left(\frac{\hat{f}(2(n+1)B)}{\pi x} - \frac{H\Delta}{\pi x W} \right) \sin(2\pi x \Delta) & \text{dla } x \neq 0, \\ 2\Delta\hat{f}(2(n+1)B) - \frac{H\Delta^2}{W} + 2BS_2 & \text{dla } x = 0, \end{cases}$$

oczywiście przy warunku, że $\hat{f}(2(n+1)B) > 0$.

Zadanie 2

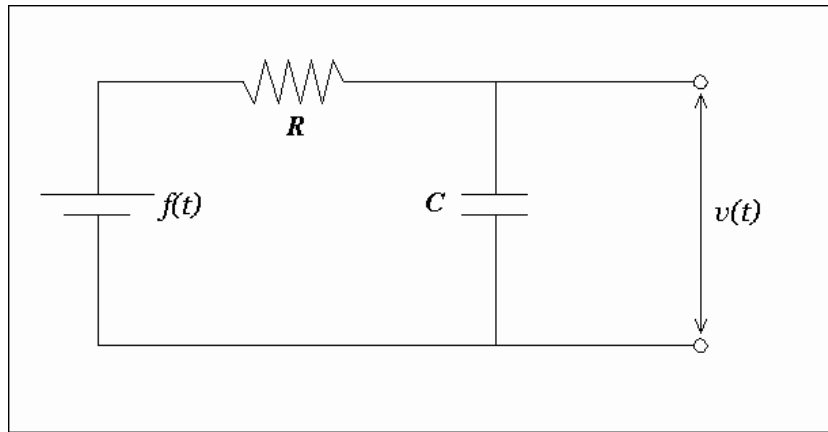
Standardowe Filtry

Znaleźć postać, obliczyć odpowiedź impulsową, oraz określić pozostałe parametry jak stabilność i realizowalność, dla następujących filtrów: RC, RLC, filtru opisanego równaniem $-\frac{1}{\omega^2}g'' + g = f$, oraz filtru całkującego i różnicującego.

Zakładamy, że dla wszystkich filtrów rozważanych w tym rozdziale, sygnały wejściowe i wyjściowe znajdują się w klasie funkcji Schwarza.

2.1 Filtrow RC

Rozważmy obwód przedstawiony na poniższym rysunku:



Rysunek 2.1 Obwód RC.

Sygnałem wejściowym jest napięcie $f(t)$, natomiast wyjściowym różnica potencjałów powstała po obu stronach okładek kondensatora. Różnica ta, dla kondensatora naładowanego ładunkiem q wynosi q/C , zatem stosując *prawo Ohma* mamy

$$Ri(t) + v(t) = f(t).$$

Korzystając z zależności $i(t) = q'(t)$, otrzymujemy następującą postać równania:

$$RCv'(t) + v(t) = f(t) \quad (2.1)$$

Biorąc transformatę Fouriera po obu stronach równania:

$$RC\widehat{v}'(\lambda) + \widehat{v}(\lambda) = \widehat{f}(\lambda)$$

oraz korzystając z własności $\widehat{g^{(k)}}(\lambda) = (2i\pi\lambda)^k \widehat{g}(\lambda)$ otrzymujemy:

$$RC(2i\pi\lambda)\widehat{v}(\lambda) + \widehat{v}(\lambda) = \widehat{f}(\lambda)$$

$$(RC(2i\pi\lambda) + 1)\widehat{v}(\lambda) = \widehat{f}(\lambda)$$

$$\hat{v}(\lambda) = \frac{1}{RC(2i\pi\lambda) + 1} \hat{f}(\lambda)$$

Stąd wnioskujemy postać *funkcji przenoszenia*:

$$H(\lambda) = \frac{1}{RC(2i\pi\lambda) + 1},$$

oraz mamy:

$$\frac{P(x)}{Q(x)} = \frac{1}{RCx + 1} = \frac{1}{RC} \frac{1}{x + \frac{1}{RC}}.$$

Widzimy oczywiście, że ów iloraz wielomianów jest w postaci ułamka prostego, oraz że wielomian $Q(x)$ posiada jeden pierwiastek rzeczywisty $x_1 = -\frac{1}{RC}$ taki, że $\Re(x_1) < 0$.

Korzystając z formuły (24.11) [1], przy czym $\beta_1 = \frac{1}{RC}$, możemy wyznaczyć następującą *odpowieź impulsową*:

$$h(t) = \beta_1 e^{x_1 t} u(t) = \frac{1}{RC} e^{-\frac{1}{RC} t} u(t),$$

gdzie $u(t)$ jest funkcją Heaviside'a.

Znając *odpowieź impulsową* możemy w pełni określić sygnał wyjściowy filtru $v(t)$ dla dowolnego sygnału $f(t)$ na wejściu:

$$v(t) = (h * f)(t) = \frac{1}{RC} \int_{-\infty}^{\infty} e^{-\frac{t-s}{RC}} u(t-s) f(s) ds = \frac{1}{RC} \int_{-\infty}^t e^{-\frac{t-s}{RC}} f(s) ds.$$

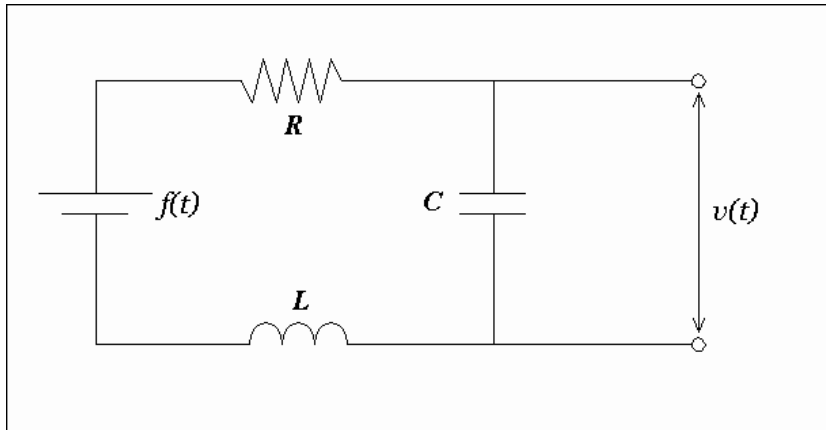
Biorąc $f = u$ uzyskamy *krok odpowiedzi*:

$$\begin{aligned} h_1(t) &= \frac{1}{RC} \left(\int_{-\infty}^{\infty} e^{-\frac{t-s}{RC}} u(t-s) u(s) ds \right) u(t) \\ &= \frac{1}{RC} \left(\int_0^t e^{-\frac{t-s}{RC}} ds \right) u(t) \\ &= \frac{1}{RC} ([RC e^{-\frac{t-s}{RC}}]_{s=0}^t) u(t) \\ &= (1 - e^{-\frac{t}{RC}}) u(t). \end{aligned}$$

Filtr ten na podstawie twierdzenia (24.4.2) [1] jest *stabilny*, ponieważ $\deg P \leq \deg Q$ oraz $Q(x)$ nie posiada pierwiastków na osi urojonej. Dodatkowo zauważamy że jedyny, rzeczywisty pierwiastek jest ujemny, skąd na podstawie twierdzenia (24.5.2) [1] wnioskujemy, iż filtr jest również *realizowalny*.

2.2 Obwód RLC

Dołożmy teraz do naszego obwodu RC cewkę indukcyjną w sposób przedstawiony na rysunku (2.2).



Rysunek 2.2 Obwód RLC.

Wiemy, że napięcie $f(t)$ podane na wejściu musi być równe spadkowi napięć na poszczególnych elementach układu, tzn.

$$v_L(t) + v_R(t) + v_C(t) = f(t)$$

gdzie v_L , v_R , v_C to odpowiednio spadki napięć na cewce, oporniku i kondensatorze. Oczywiście szukanym sygnałem jest $v(t) = v_C(t)$.

Korzystając z *prawa Ohma*, oraz z własności cewki indukcyjnej, wiemy, że

$$v_R(t) = Ri(t),$$

$$v_L(t) = Li'(t).$$

Stąd nasze równanie wygląda:

$$Li'(t) + Ri(t) + v(t) = f(t)$$

Wiedząc dodatkowo, że $i(t) = q'(t)$ oraz $v(t) = \frac{q(t)}{C}$ możemy wyznaczyć $i(t)$:

$$q(t) = Cv(t) \Rightarrow i(t) = Cv'(t).$$

Podstawiając je do równania filtru ostatecznie otrzymujemy postać:

$$LCv''(t) + RCv'(t) + v(t) = f(t) \quad (2.2)$$

Obliczając transformatę Fouriera po obu stronach równania (2.2) mamy:

$$\begin{aligned} LC\widehat{v''}(t) + RC\widehat{v'}(t) + \widehat{v}(t) &= \widehat{f}(t) \\ LC(2i\pi\lambda)^2\widehat{v}(t) + RC(2i\pi\lambda)\widehat{v}(t) + \widehat{v}(t) &= \widehat{f}(t) \\ (LC(2i\pi\lambda)^2 + RC(2i\pi\lambda) + 1)\widehat{v}(t) &= \widehat{f}(t) \\ \widehat{v}(t) &= \frac{1}{LC(2i\pi\lambda)^2 + RC(2i\pi\lambda) + 1}\widehat{f}(t) \end{aligned}$$

skąd wnioskujemy o postaci ilorazu $\frac{P(x)}{Q(x)}$:

$$\frac{P(x)}{Q(x)} = \frac{1}{LCx^2 + RCx + 1}.$$

Teraz w zależności od wyznacznika trójmianu kwadratowego $Q(x)$:

$$\Delta = C^2(R^2 - 4\frac{L}{C}),$$

musimy rozważyć trzy różne przypadki.

2.2.1 Przypadek gdy $\Delta < 0$ (czyli $R < 2\sqrt{\frac{L}{C}}$)

Wprowadźmy następujące oznaczenia:

$$\omega = \sqrt{4\frac{L}{C} - R^2}, \quad \alpha = \frac{R}{2L}, \quad \beta = \frac{\omega}{2L}.$$

Oba pierwiastki są liczbami zespolonymi o ujemnych częściach rzeczywistych, czyli:

$$\begin{aligned} z_1 &= -\alpha + i\beta, \\ z_2 &= -\alpha - i\beta, \end{aligned}$$

oraz $\Re(z_1) < 0$, i $\Re(z_2) < 0$.

Rozłóżmy iloczyn $\frac{P(x)}{Q(x)}$ na ułamki proste:

$$\begin{aligned} \frac{P(x)}{Q(x)} &= \frac{1}{LCx^2 + RCx + 1} = \frac{1}{LC} \frac{1}{(x - z_1)(x - z_2)} = \frac{1}{LC} \left(\frac{A}{x - z_1} + \frac{B}{x - z_2} \right) \\ &= \frac{1}{LC} \frac{A(x - z_2) + B(x - z_1)}{(x - z_1)(x - z_2)} = \frac{1}{LC} \frac{Ax - Az_2 + Bx - Bz_1}{(x - z_1)(x - z_2)} \end{aligned}$$

$$= \frac{1}{LC} \frac{(A+B)x - (Az_2 + Bz_1)}{(x-z_1)(x-z_2)}.$$

Stąd wnioskujemy, że $A+B=0$, czyli $B=-A$, natomiast $-(Az_2+Bz_1)=1$.
Dalej:

$$-(Az_2 - Az_1) = 1$$

$$-A(z_2 - z_1) = 1$$

$$A(z_1 - z_2) = 1$$

$$A(-\alpha + i\beta - (-\alpha - i\beta)) = A(2i\beta) = 1$$

$$A = \frac{1}{2i\beta} = \frac{1}{2i\frac{\omega}{2L}} = \frac{L}{i\omega}$$

skąd $B = -\frac{L}{i\omega}$.

Ostatecznie:

$$\begin{aligned} \frac{P(x)}{Q(x)} &= \frac{1}{LC} \frac{1}{(x-z_1)(x-z_2)} = \frac{1}{LC} \left(\frac{L}{i\omega} \frac{1}{x-z_1} - \frac{L}{i\omega} \frac{1}{x-z_2} \right) \\ &= \frac{1}{i\omega C} \left(\frac{1}{x-z_1} - \frac{1}{x-z_2} \right), \end{aligned}$$

a zatem *funkcja przenoszenia* przyjmuje postać:

$$H(\lambda) = \frac{1}{i\omega C} \left(\frac{1}{2i\pi\lambda - z_1} - \frac{1}{2i\pi\lambda - z_2} \right).$$

Korzystając ze wzoru (24.11) [1] możemy określić *odpowiedź impulsową*:

$$\begin{aligned} h(t) &= \frac{1}{i\omega C} (e^{z_1 t} - e^{z_2 t}) u(t) = \frac{1}{i\omega C} (e^{-\alpha t} e^{i\beta t} - e^{-\alpha t} e^{-i\beta t}) u(t) \\ &= \frac{2}{\omega C} e^{-\alpha t} \left(\frac{e^{i\beta t} - e^{-i\beta t}}{2i} \right) u(t) = \frac{2}{\omega C} e^{-\alpha t} \sin(\beta t) u(t) \\ &= \frac{2}{\omega C} e^{-\frac{R}{2L} t} \sin\left(\frac{\omega}{2L} t\right) u(t). \end{aligned}$$

Zatem dla dowolnego sygnału wejściowego $f(t)$ na wyjściu filtru będziemy dysponować sygnałem postaci:

$$v(t) = (h * f)(t) = \frac{2}{\omega C} \int_{-\infty}^{\infty} e^{-\alpha(t-s)} \sin(\beta(t-s)) u(t-s) f(s) ds,$$

a ponieważ $u(x) = 0$ dla $x < 0$, mamy:

$$v(t) = \frac{2}{\omega C} \int_{-\infty}^t e^{-\alpha(t-s)} \sin(\beta(t-s)) f(s) ds.$$

W szczególności, obliczymy $h_1(t)$ będący sygnałem wyjściowym dla sygnału opisanego funkcją Heaviside'a $u(t)$. Zatem:

$$\begin{aligned} h_1(t) &= (h * u)(t) = \frac{2}{\omega C} \left(\int_{-\infty}^{\infty} e^{-\alpha(t-s)} \sin(\beta(t-s)) u(t-s) u(s) ds \right) u(t) \\ &= \frac{2}{\omega C} \left(\int_0^t e^{-\alpha(t-s)} \sin(\beta(t-s)) ds \right) u(t) \end{aligned}$$

Obliczymy teraz całkę nieoznaczoną wykorzystując dwukrotnie metodę przez części:

$$\begin{aligned} I &= \int e^{-\alpha(t-s)} \sin(\beta(t-s)) ds \\ &= \frac{1}{\alpha} e^{-\alpha(t-s)} \sin(\beta(t-s)) + \frac{\beta}{\alpha} \int e^{-\alpha(t-s)} \cos(\beta(t-s)) ds \\ &= \frac{1}{\alpha} e^{-\alpha(t-s)} \sin(\beta(t-s)) + \frac{\beta}{\alpha^2} e^{-\alpha(t-s)} \cos(\beta(t-s)) \\ &\quad - \frac{\beta^2}{\alpha^2} \int e^{-\alpha(t-s)} \sin(\beta(t-s)) ds \\ &= \frac{1}{\alpha} e^{-\alpha(t-s)} \sin(\beta(t-s)) + \frac{\beta}{\alpha^2} e^{-\alpha(t-s)} \cos(\beta(t-s)) - \frac{\beta^2}{\alpha^2} I \end{aligned}$$

Przenosząc szukaną całkę I na jedną stronę równania otrzymujemy:

$$\begin{aligned} \left(1 + \frac{\beta^2}{\alpha^2}\right) I &= \frac{1}{\alpha} e^{-\alpha(t-s)} \sin(\beta(t-s)) + \frac{\beta}{\alpha^2} e^{-\alpha(t-s)} \cos(\beta(t-s)) \quad / \cdot \alpha^2 \\ (\alpha^2 + \beta^2) I &= \alpha e^{-\alpha(t-s)} \sin(\beta(t-s)) + \beta e^{-\alpha(t-s)} \cos(\beta(t-s)) \end{aligned}$$

Dzieląc przez $(\alpha^2 + \beta^2)$ dostajemy szukany wzór:

$$\int e^{-\alpha(t-s)} \sin(\beta(t-s)) ds = \frac{1}{(\alpha^2 + \beta^2)} e^{-\alpha(t-s)} (\alpha \sin(\beta(t-s)) + \beta \cos(\beta(t-s)))$$

Podstawmy go do liczonego kroku odpowiedzi:

$$h_1(t) = \frac{2}{\omega C} \left(\int_0^t e^{-\alpha(t-s)} \sin(\beta(t-s)) ds \right) u(t)$$

$$\begin{aligned}
&= \frac{2}{\omega C} \frac{1}{\alpha^2 + \beta^2} [e^{-\alpha(t-s)} (\alpha \sin(\beta(t-s)) + \beta \cos(\beta(t-s)))]_{s=0}^t u(t) \\
&= \frac{2}{\omega C} \frac{1}{\alpha^2 + \beta^2} (0 + \beta - e^{-\alpha t} (\alpha \sin \beta t + \beta \cos \beta t)) u(t) \\
&= \frac{2}{\omega C} \frac{1}{\alpha^2 + \beta^2} (\beta - \beta e^{-\alpha t} (\frac{\alpha}{\beta} \sin \beta t + \cos \beta t)) u(t) \\
&= \frac{2}{\omega C} \frac{\beta}{\alpha^2 + \beta^2} (1 - e^{-\alpha t} (\frac{\alpha}{\beta} \sin \beta t + \cos \beta t)) u(t)
\end{aligned}$$

Wyliczając:

$$\begin{aligned}
\alpha^2 + \beta^2 &= (\frac{R}{2L})^2 + (\frac{\omega}{2L})^2 = \frac{1}{4L^2} (R^2 + \omega^2) = \frac{1}{4L^2} (R^2 + 4\frac{L}{C} - R^2) \\
&= \frac{1}{4L^2} \frac{4L}{C} = \frac{1}{LC}
\end{aligned}$$

i podstawiając do $h_1(t)$ mamy:

$$\begin{aligned}
h_1(t) &= \frac{2}{\omega C} \frac{\beta}{\alpha^2 + \beta^2} (1 - e^{-\alpha t} (\frac{\alpha}{\beta} \sin \beta t + \cos \beta t)) u(t) \\
&= \frac{2}{\omega C} \beta LC (1 - e^{-\alpha t} (\frac{\alpha}{\beta} \sin \beta t + \cos \beta t)) u(t) \\
&= \frac{2L}{\omega} \beta (1 - e^{-\alpha t} (\frac{\alpha}{\beta} \sin \beta t + \cos \beta t)) u(t)
\end{aligned}$$

A skoro $\alpha = \frac{R}{2L}$, oraz $\beta = \frac{\omega}{2L}$, ostatecznie otrzymujemy:

$$\begin{aligned}
h_1(t) &= [1 - e^{-\alpha t} (\frac{\alpha}{\beta} \sin \beta t + \cos \beta t)] u(t) \\
&= [1 - e^{-\frac{R}{2L}t} (\frac{R}{\omega} \sin \frac{\omega}{2L}t + \cos \frac{\omega}{2L}t)] u(t),
\end{aligned}$$

gdzie $\omega = \sqrt{4\frac{L}{C} - R^2}$.

W tym przypadku filtr jest *stabilny* na podstawie twierdzenia (24.4.2) [1], ponieważ $\deg P \leq \deg Q$ oraz żaden z pierwiastków, z_1 lub z_2 , nie leży na osi urojonej. Dodatkowo stwierdzamy, że pierwiastki te mają ujemne części rzeczywiste, zatem na mocy (24.5.2) [1] filtr ten jest *realizowalny*.

2.2.2 Przypadek gdy $\Delta = 0$ (czyli $R = 2\sqrt{\frac{L}{C}}$)

Wówczas mamy:

$$\frac{P(x)}{Q(x)} = \frac{1}{LC(x + \frac{R}{2L})^2}.$$

Oznaczając $x_0 = -\frac{R}{2L}$, oraz zauważając, iż iloraz wielomianów P i Q jest już przedstawiony w postaci ułamka nierozkładalnego

$$\frac{P(x)}{Q(x)} = \frac{1}{LC(x - x_0)^2}$$

wnioskujemy postać *funkcji przenoszenia*:

$$H(\lambda) = \frac{1}{LC} \frac{1}{(2i\pi\lambda - x_0)^2}$$

Wiedząc, że $\Re(x_0) < 0$, oraz na podstawie wzoru (24.13) [1], gdzie $m_1 = 2$, $\beta_{1,1} = 0$, oraz $\beta_{1,2} = \frac{1}{LC}$ mamy następującą *odpowiedź impulsową*:

$$h(t) = (\beta_{1,1} \cdot 1 + \beta_{1,2} \cdot t)e^{x_0 t} u(t) = \frac{1}{LC} t e^{x_0 t} u(t)$$

Zatem dla dowolnego sygnału wejściowego $f(t)$, na wyjściu filtru uzyskujemy sygnał zadany wzorem:

$$\begin{aligned} v(t) &= (h * f)(t) = \frac{1}{LC} \int_{-\infty}^t (t-s)e^{x_0(t-s)} f(s) ds \\ &= \frac{1}{LC} \int_{-\infty}^t (t-s)e^{-\frac{R}{2L}(t-s)} f(s) ds \end{aligned}$$

Podstawiając za sygnał wejściowy funkcję Heaviside'a otrzymamy *krok odpowiedzi*:

$$\begin{aligned} h_1(t) &= (h * u)(t) = \frac{1}{LC} \int_{-\infty}^{\infty} (t-s)e^{x_0(t-s)} u(t-s) u(s) ds \\ &= \frac{1}{LC} \left(\int_0^t (t-s)e^{x_0(t-s)} ds \right) u(t) \end{aligned}$$

Obliczmy całkę nieoznaczoną:

$$\int (t-s)e^{x_0(t-s)} ds = t \int e^{x_0(t-s)} ds - \int s e^{x_0(t-s)}$$

$$= -\frac{1}{x_0}te^{x_0(t-s)} + \left(\frac{s}{x_0}e^{x_0(t-s)} + \frac{1}{x_0^2}e^{x_0(t-s)}\right) = e^{x_0(t-s)}\left(\frac{s}{x_0} - \frac{t}{x_0} + \frac{1}{x_0^2}\right)$$

Podstawiając jej wynik do szukanego *kroku odpowiedzi* mamy:

$$\begin{aligned} h_1(t) &= \frac{1}{LC}[e^{x_0(t-s)}\left(\frac{s}{x_0} - \frac{t}{x_0} + \frac{1}{x_0^2}\right)]_{s=0}^t u(t) \\ &= \frac{1}{LC}\left[\frac{1}{x_0^2} + \frac{t}{x_0}e^{x_0t} - \frac{1}{x_0^2}e^{x_0t}\right]u(t) \\ &= \frac{1}{LC}\frac{1}{x_0^2}(1 + tx_0e^{x_0t} - e^{x_0t})u(t) \\ &= \frac{1}{LC}\frac{4L^2}{R^2}\left(1 - \left(1 + \frac{R}{2L}t\right)e^{-\frac{R}{2L}t}\right)u(t) \end{aligned}$$

Skoro $\Delta = 0$, więc $R^2 = 4\frac{L}{C}$, a zatem

$$\frac{1}{LC}\frac{4L^2}{R^2} = \frac{4L}{C}\frac{1}{R^2} = \frac{4L}{C}\frac{1}{4\frac{L}{C}} = 1,$$

skąd ostatecznie otrzymujemy wzór:

$$h_1(t) = [1 - (1 + \frac{R}{2L}t)e^{-\frac{R}{2L}t}]u(t).$$

Ponownie powołując się na twierdzenie (24.4.2) [1] stwierdzamy, że $\deg P \leq \deg Q$, oraz że podwójny pierwiastek rzeczywisty nie leży na osi urojonej i ma część rzeczywistą ujemną, a zatem filtr ten przy warunku, iż $\Delta = 0$, jest *stabilny* i *realizowalny*.

2.2.3 Przypadek gdy $\Delta > 0$ (czyli $R > 2\sqrt{\frac{L}{C}}$)

W tym przypadku podobnie jak dla $\Delta < 0$ dysponujemy następującą postacią ilorazu

$$\frac{P(x)}{Q(x)} = \frac{1}{LCx^2 + RCx + 1} = \frac{1}{LC} \frac{1}{(x - x_1)(x - x_2)},$$

gdzie przy oznaczeniu $\omega = \sqrt{R^2 - 4\frac{L}{C}}$ mamy:

$$\sqrt{\Delta} = C\sqrt{R^2 - 4\frac{L}{C}} = C\omega,$$

$$x_1 = -\frac{R + \omega}{2L}, \quad x_2 = -\frac{R - \omega}{2L}.$$

Teraz jednak otrzymaliśmy jako pierwiastki równania ujemne liczby rzeczywiste, czyli spełniające nierówności $\Re(x_1) < 0$ i $\Re(x_2) < 0$.

Rozłóżmy iloraz wielomianów P i Q na ułamki proste:

$$\begin{aligned} \frac{P(x)}{Q(x)} &= \frac{1}{LC} \frac{1}{(x - x_1)(x - x_2)} = \frac{1}{LC} \left(\frac{A}{x - x_1} + \frac{B}{x - x_2} \right) \\ &= \frac{1}{LC} \frac{A(x - x_2) + B(x - x_1)}{(x - x_1)(x - x_2)} \\ &= \frac{1}{LC} \frac{Ax - Ax_2 + Bx - Bx_1}{(x - x_1)(x - x_2)} \\ &= \frac{1}{LC} \frac{(A + B)x - (Ax_2 + Bx_1)}{(x - x_1)(x - x_2)}, \end{aligned}$$

stąd stwierdzamy, że $A + B = 0$ (czyli $B = -A$), oraz $-(Ax_2 + Bx_1) = 1$.

Dalej :

$$-(Ax_2 - Ax_1) = 1$$

$$-A(x_2 - x_1) = 1$$

$$A(x_1 - x_2) = 1$$

$$A = \frac{1}{x_1 - x_2} = \frac{1}{-\frac{R+\omega}{2L} - (-\frac{R-\omega}{2L})} = \frac{1}{-\frac{\omega}{L}} = -\frac{L}{\omega},$$

skąd $B = \frac{L}{\omega}$.

Ostatecznie mamy:

$$\begin{aligned} \frac{P(x)}{Q(x)} &= \frac{1}{LC} \frac{1}{(x - x_1)(x - x_2)} = \frac{1}{LC} \left(-\frac{L}{\omega} \frac{1}{x - x_1} + \frac{L}{\omega} \frac{1}{x - x_2} \right) \\ &= -\frac{1}{\omega C} \left(\frac{1}{x - x_1} - \frac{1}{x - x_2} \right), \end{aligned}$$

a z tej postaci możemy wywnioskować *funkcję przenoszenia*:

$$H(\lambda) = -\frac{1}{\omega C} \left(\frac{1}{2i\pi\lambda - x_1} - \frac{1}{2i\pi\lambda - x_2} \right).$$

Natomiast na podstawie wzoru (24.11) z [1] określamy następującą *odpowiedź impulsową*:

$$h(t) = -\frac{1}{\omega C}(e^{x_1 t} - e^{x_2 t})u(t).$$

Zatem dla dowolnego sygnału wejściowego $f(t)$ sygnał wyjściowy wygląda:

$$v(t) = (h * f)(t) = -\frac{1}{\omega C} \int_{-\infty}^t (e^{x_1(t-s)} - e^{x_2(t-s)})f(s)ds.$$

W szczególności, *krok odpowiedzi* przedstawia się wzorem:

$$\begin{aligned} h_1(t) &= (h * u)(t) = -\frac{1}{\omega C} \int_{-\infty}^{\infty} (e^{x_1(t-s)} - e^{x_2(t-s)})u(t-s)u(s)ds \\ &= -\frac{1}{\omega C} \left(\int_0^t (e^{x_1(t-s)} - e^{x_2(t-s)})ds \right) u(t) \\ &= -\frac{1}{\omega C} \left(\int_0^t e^{x_1(t-s)}ds - \int_0^t e^{x_2(t-s)}ds \right) u(t) \\ &= -\frac{1}{\omega C} \left(\left[-\frac{1}{x_1} e^{x_1(t-s)} \right]_{s=0}^t - \left[-\frac{1}{x_2} e^{x_2(t-s)} \right]_{s=0}^t \right) u(t) \\ &= -\frac{1}{\omega C} \left(-\frac{1}{x_1} (1 - e^{x_1 t}) + \frac{1}{x_2} (1 - e^{x_2 t}) \right) u(t) \\ &= -\frac{1}{\omega C} \left(-\frac{1}{x_1} + \frac{1}{x_1} e^{x_1 t} + \frac{1}{x_2} - \frac{1}{x_2} e^{x_2 t} \right) u(t) \\ &= \left(-\frac{1}{\omega C} \left(\frac{1}{x_2} - \frac{1}{x_1} \right) - \frac{1}{\omega C} \frac{1}{x_1} e^{x_1 t} + \frac{1}{\omega C} \frac{1}{x_2} e^{x_2 t} \right) u(t), \end{aligned}$$

Wyliczając:

$$\begin{aligned} -\frac{1}{\omega C} \left(\frac{1}{x_2} - \frac{1}{x_1} \right) &= -\frac{1}{\omega C} \frac{x_1 - x_2}{x_1 x_2} = \frac{1}{\omega C} \frac{\omega}{L} \frac{1}{x_1 x_2} = \frac{1}{CL} \frac{4L^2}{R^2 - \omega^2} \\ &= \frac{4L}{C} \frac{1}{R^2 - (R^2 - 4\frac{L}{C})} = \frac{4L}{C} \frac{1}{4\frac{L}{C}} = 1, \end{aligned}$$

oraz podstawiając $x_1 = -\frac{R+\omega}{2L}$ i $x_2 = -\frac{R-\omega}{2L}$ otrzymujemy ostatecznie:

$$h_1(t) = \left(1 + \frac{2L}{\omega C(R+\omega)} e^{-\frac{R+\omega}{2L}t} - \frac{2L}{\omega C(R-\omega)} e^{\frac{R-\omega}{2L}t} \right) u(t).$$

Pokazaliśmy wcześniej, że oba pierwiastki $Q(x)$ są ujemnymi liczbami rzeczywistymi. Oczywiście widać, że spełniony jest warunek $\deg P \leq \deg Q$, a zatem i w tym przypadku stwierdzamy, że filtr jest *stabilny* i *realizowalny*, odpowiednio na podstawie twierdzenia (24.4.2) i (24.5.2) [1].

2.3 Filtr drugiego rzędu $-\frac{1}{\omega^2}g'' + g = f$

Rozważmy filtr opisany następującym równaniem różniczkowym:

$$-\frac{1}{\omega^2}g''(t) + g(t) = f(t) \quad (2.3)$$

gdzie $\omega > 0$.

Obliczając transformaty Fouriera obu stron równania otrzymujemy:

$$\begin{aligned} -\frac{1}{\omega^2}\widehat{g''} + \widehat{g} &= \widehat{f} \\ -\frac{1}{\omega^2}(2i\pi\lambda)^2\widehat{g} + \widehat{g} &= \widehat{f} \\ (-\frac{1}{\omega^2}(2i\pi\lambda)^2 + 1)\widehat{g} &= \widehat{f} \\ \widehat{g} &= \frac{1}{-\frac{1}{\omega^2}(2i\pi\lambda)^2 + 1}\widehat{f} \\ \widehat{g} &= \frac{-\omega^2}{(2i\pi\lambda)^2 - \omega^2}\widehat{f} \end{aligned}$$

Zatem:

$$H(\lambda) = \frac{-\omega^2}{(2i\pi\lambda)^2 - \omega^2} = \frac{\omega^2}{4\pi^2\lambda^2 + \omega^2},$$

a stąd wynika, że:

$$\frac{P(x)}{Q(x)} = \frac{-\omega^2}{x^2 - \omega^2}.$$

Rozłóżmy teraz powyższy iloraz wielomianów na ułamki proste:

$$\begin{aligned} \frac{P(x)}{Q(x)} &= \frac{-\omega^2}{(x - \omega)(x + \omega)} = \frac{A}{x - \omega} + \frac{B}{x + \omega} = \frac{A(x + \omega) + B(x - \omega)}{(x - \omega)(x + \omega)} \\ &= \frac{(A + B)x + (A\omega - B\omega)}{(x - \omega)(x + \omega)}. \end{aligned}$$

Stąd wnioskujemy, że $A + B = 0$ ($B = -A$), a także, że $A\omega - B\omega = -\omega^2$.

Dalej:

$$A\omega - B\omega = -\omega^2$$

$$A\omega + A\omega = -\omega^2$$

$$2A\omega = -\omega^2$$

$$A = -\frac{\omega}{2},$$

skąd $B = \frac{\omega}{2}$.

Ostatecznie :

$$\frac{P(x)}{Q(x)} = \frac{-\omega^2}{x^2 - \omega^2} = -\frac{\omega}{2} \left(\frac{1}{x - \omega} - \frac{1}{x + \omega} \right).$$

Wiedząc, że równanie $x^2 - \omega^2 = 0$ posiada dwa rozwiązania $x_1 = \omega$ i $x_2 = -\omega$ takie, że $\Re(x_1) > 0$ oraz $\Re(x_2) < 0$, a także korzystając ze wzoru (24.11) [1] możemy określić *odpowieź impulsową* filtru:

$$h(t) = -\frac{\omega}{2}(-e^{x_1 t}u(-t) - e^{x_2 t}u(t)) = \frac{\omega}{2}(e^{\omega t}u(-t) + e^{-\omega t}u(t)) = \frac{\omega}{2}e^{\omega|t|}$$

Znając natomiast $h(t)$, możemy napisać postać sygnału na wyjściu filtru, dla dowolnego sygnału wejściowego $f(t)$:

$$g(t) = (h * f)(t) = \frac{\omega}{2} \int_{-\infty}^t e^{-\omega|t-s|} f(s) ds.$$

Obliczymy na koniec postać *kroku odpowiedzi* $h_1(t) = (h * u)(t)$, w tym celu będziemy musieli rozważyć dwa przypadki:

1. gdy $t \geq 0$:

$$\begin{aligned} h_1(t) &= \frac{\omega}{2} \int_{-\infty}^{\infty} e^{-\omega|t-s|} u(s) ds = \frac{\omega}{2} \int_0^{\infty} e^{-\omega|t-s|} ds \\ &= \frac{\omega}{2} \int_0^t e^{-\omega(t-s)} ds + \frac{\omega}{2} \int_t^{\infty} e^{\omega(t-s)} ds \\ &= \frac{\omega}{2} \left[\frac{1}{\omega} e^{-\omega(t-s)} \right]_{s=0}^t + \frac{\omega}{2} \left[-\frac{1}{\omega} e^{\omega(t-s)} \right]_{s=t}^{\infty} \\ &= \frac{\omega}{2} \left(\frac{1}{\omega} (1 - e^{-\omega t}) - \frac{1}{\omega} (0 - 1) \right) \\ &= \frac{1}{2} (1 - e^{-\omega t} + 1) = 1 - \frac{1}{2} e^{-\omega t} \end{aligned}$$

2. gdy $t < 0$:

$$\begin{aligned} h_1(t) &= \frac{\omega}{2} \int_{-\infty}^{\infty} e^{-\omega|t-s|} u(s) ds = \frac{\omega}{2} \int_0^{\infty} e^{-\omega|t-s|} ds = \frac{\omega}{2} \int_0^{\infty} e^{\omega(t-s)} ds \\ &= \frac{\omega}{2} \left[-\frac{1}{\omega} e^{\omega(t-s)} \right]_{s=0}^{\infty} = \frac{\omega}{2} \left(0 + \frac{1}{\omega} e^{\omega t} \right) = \frac{1}{2} e^{\omega t} \end{aligned}$$

Reasumując sygnał $h_1(t)$ wygląda następująco:

$$h_1(t) = \begin{cases} 1 - \frac{1}{2} e^{-\omega t} & \text{dla } t \geq 0, \\ \frac{1}{2} e^{\omega t} & \text{dla } t < 0. \end{cases}$$

Pokazaliśmy, że dla ilorazu $\frac{P(x)}{Q(x)}$ spełniony jest warunek $\deg P \leq \deg Q$. Wylczyliśmy również dwa pierwiastki, które nie znajdowały się na osi urojonej. Zatem na podstawie (24.4.2) [1] możemy stwierdzić, iż filtr ten jest *stabilny*. Niestety, jeden z tych pierwiastków miał część rzeczywistą dodatnią, a drugi ujemną, skąd na mocy twierdzenia (24.5.2) [1] zauważamy, że filtr ten nie jest *realizowalny*.

2.4 Obwód całkujący i różniczkujący

W elektronice często wykorzystuje się układy całkujące i różniczkujące. Nazwy tych obwodów są adekwatne do operacji dokonywanej na sygnale wejściowym.

2.4.1 Układ całkujący $g' = f$

Wychodząc od równania

$$g'(t) = f(t),$$

obliczamy *funkcję przenoszenia*:

$$\hat{g}'(\lambda) = \hat{f}(\lambda)$$

$$(2i\pi\lambda)\hat{g}(\lambda) = \hat{f}(\lambda)$$

$$\hat{g}(\lambda) = \frac{1}{2i\pi\lambda} \hat{f}(\lambda),$$

czyli

$$H(\lambda) = \frac{1}{2i\pi\lambda}.$$

Zatem iloraz wielomianów P i Q przedstawia się

$$\frac{P(x)}{Q(x)} = \frac{1}{x}.$$

Widzimy, że $Q(x)$ posiada tylko jeden pojedynczy pierwiastek $x_0 = 0$. Nie możemy tutaj zastosować żadnej z dotychczasowych metod. Jeśli bowiem f jest w klasie funkcji Schwarza, to nie da się znaleźć w tej klasie funkcji g .

Prostsza okazuje się bezpośrednia analiza tego przykładu. Widzimy, że g musi być funkcją pierwotną f . Ograniczając się do sygnałów *przyczynowych*, czyli takich sygnałów, dla których spełniony jest warunek

$$h(t) = 0, \text{ dla } t < 0,$$

wybór funkcji g jest zdeterminowany. W tym przypadku,

$$g(t) = \int_{-\infty}^t f(s)ds,$$

którą można zapisać w kontekście funkcji Heaviside'a:

$$g = u * f.$$

Zatem *odpowiedzią impulsową* tego filtru jest funkcja impulsu jednostkowego $u(t)$. Zdefiniowany jest również *krok odpowiedzi*:

$$h_1(t) = (u * u)(t) = \int_{-\infty}^t u(s)ds = tu(t).$$

Reasumując, przy ograniczeniu się tylko do sygnałów przyczynowych zauważamy, iż rozważany układ całkujący nie jest *stabilny*, ponieważ *odpowieź impulsowa* nie należy do $\mathbf{L}^1(\mathcal{R})$,

$$\int_{\mathcal{R}} |u(\lambda)|d\lambda = \int_{\mathcal{R}} u(\lambda)d\lambda = \int_0^{\infty} d\lambda = \infty.$$

Jest on natomiast *realizowalny*, ponieważ dla wszystkich $t_0 \in \mathcal{R}$ zachodzi warunek

$$f(t) = 0 \text{ dla } t < t_0 \Rightarrow g(t) = 0 \text{ dla } t < t_0.$$

2.4.2 Układ różniczkujący $g = f'$

Analogicznie jak w poprzednim układzie wychodząc z równania

$$g(t) = f'(t),$$

możemy wyznaczyć *funkcję przenoszenia*:

$$\hat{g}(\lambda) = \hat{f}'(\lambda)$$

$$\hat{g}(\lambda) = (2i\pi\lambda)\hat{f}(\lambda),$$

czyli

$$H(\lambda) = 2i\pi\lambda.$$

Z postaci $H(\lambda)$ możemy wywnioskować iloraz wielomianów P i Q :

$$\frac{P(x)}{Q(x)} = x.$$

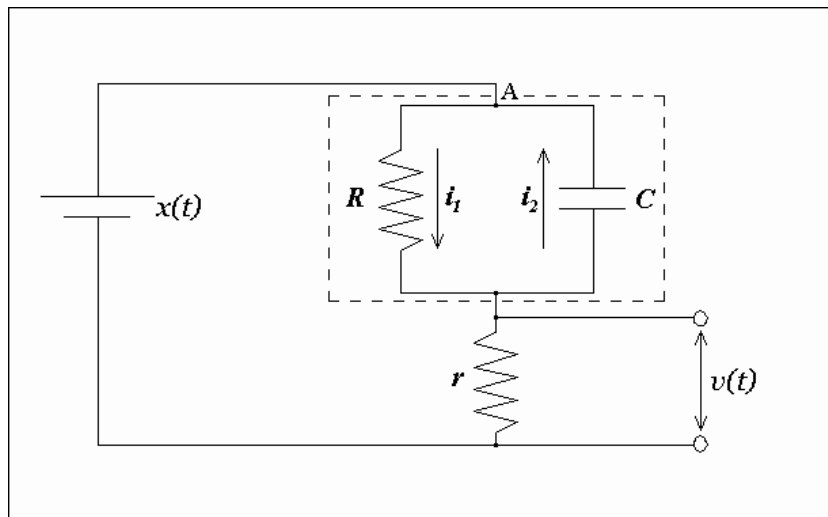
Zauważamy, iż w tym przypadku $Q(x)$ nie posiada pierwiastków i powołując się na twierdzenie (24.5.2) [1] wnioskujemy, że filtr ten jest *realizowalny*. Z drugiej zaś strony nie jest on *stabilny*.

Zdefiniowanie *odpowiedzi impulsowej* oraz *kroku odpowiedzi* w przypadku układu różniczkującego możliwe jest tylko w kontekście *teorii dystrybucji*.

Zadanie 3

Układ elektryczny

Dla układu elektrycznego przedstawionego na poniższym rysunku,



Rysunek 3.1

gdzie x jest sygnałem na wejściu, a spadek napięcia v na oporniku o rezystancji r jest sygnałem wyjściowym.

1. Pokazać, że x i v spełniają równość $RrCv' + (R+r)v = rx + RrCx'$.
2. Obliczyć funkcję przenoszenia i krok odpowiedzi.
3. Zakładając, że $r \ll R$, określić jaką rolę może pełnić ten filtr.

Dla rozważanego poniżej układu elektrycznego zakładamy, że sygnał wejściowy, oraz szukany sygnał wyjściowy znajdują się w klasie funkcji Schwarza.

3.1 Równanie filtru

Napięcie podane na wejściu układu musi być równe sumie spadków napięć na poszczególnych elementach układu połączonych szeregowo, tzn.

$$x(t) = v_{RC}(t) + v_r(t), \quad (3.1)$$

gdzie v_{RC} jest spadkiem napięcia na układzie opornika i kondensatora zaznaczonego linią przerywaną na rysunku (3.1), natomiast v_r jest spadkiem napięcia na oporniku o rezystancji r . Szukanym przez nas sygnałem wyjściowym będzie $v = v_r$.

Według *pierwszego prawa Kirchhoffa* wiemy, że w dowolnym punkcie obwodu suma natężeń prądów wpływających jest równa sumie natężeń prądów wypływających. Stosując tę zasadę w rozważanym układzie w punkcie rozgałęzienia A , dostajemy zależność

$$i(t) = i_1(t) + i_2(t). \quad (3.2)$$

Następnie korzystając z *prawa Ohma*, oraz własności kondensatorów otrzymujemy równości:

$$\begin{aligned} i(t) &= \frac{v(t)}{r}, \quad i_1(t) = \frac{v_{RC}(t)}{R}, \\ v_{RC}(t) &= \frac{q(t)}{C} \Rightarrow q(t) = C v_{RC}(t). \end{aligned}$$

Pamiętając, że $i(t) = q'(t)$ mamy

$$i_2(t) = C v'_{RC}(t).$$

Podstawiając wyliczone natężenia do równania (3.2) otrzymujemy

$$\begin{aligned} \frac{v(t)}{r} &= \frac{v_{RC}(t)}{R} + C v'_{RC}(t) \quad / \cdot Rr \\ Rv(t) &= r v_{RC}(t) + Rr C v'_{RC}(t). \end{aligned} \quad (3.3)$$

Wyznaczając natomiast napięcie v_{RC} z równania (3.1)

$$v_{RC}(t) = x(t) - v(t),$$

i podstawiając do równania obwodu (3.3) otrzymujemy

$$\begin{aligned} Rv(t) &= r(x(t) - v(t)) + RrC(x(t) - v(t))' \\ Rv(t) &= rx(t) - rv(t) + RrC(x'(t) - v'(t)) \\ Rv(t) + rv(t) &= rx(t) + RrCx'(t) - RrCv'(t). \end{aligned}$$

Grupując na koniec wyrazy sygnału wejściowego po jednej stronie, natomiast wyjściowego po drugiej stronie równania, otrzymujemy ostatecznie równanie układu elektrycznego przedstawionego na rysunku (3.1) w postaci

$$RrCv'(t) + (R + r)v(t) = rx(t) + RrCx'(t).$$

3.2 Transmitancja i krok odpowiedzi

Dysponując już równaniem układu:

$$RrCv' + (R + r)v = rx + RrCx', \quad (3.4)$$

możemy obliczyć transformaty Fouriera po obu jego stronach:

$$\begin{aligned} RrC\hat{v}' + (R + r)\hat{v} &= r\hat{x} + RrC\hat{x}' \\ RrC(2i\pi\lambda)\hat{v} + (R + r)\hat{v} &= r\hat{x} + RrC(2i\pi\lambda)\hat{x} \\ (RrC(2i\pi\lambda) + (R + r))\hat{v} &= (r + RrC(2i\pi\lambda))\hat{x} \\ \hat{v} &= \frac{RrC(2i\pi\lambda) + r}{RrC(2i\pi\lambda) + (R + r)}\hat{x} \end{aligned}$$

W tym momencie, jesteśmy w stanie określić *funkcję przenoszenia* charakteryzującą rozważany obwód:

$$H(\lambda) = 1 - \frac{1}{rC} \frac{1}{2i\pi\lambda + \frac{R+r}{RrC}}. \quad (3.5)$$

Widzimy także, iż iloraz P/Q wygląda następująco:

$$\frac{P(z)}{Q(z)} = \frac{RrCz + r}{RrCz + (R + r)},$$

czyli, że $\deg P = \deg Q$. W tym przypadku, zamieniamy niewiadomą funkcję v na $g = v - \lambda x$, gdzie w naszym przypadku $\lambda = \frac{RrC}{RrC} = 1$.

Następnie, tak jak to zostało przedstawione w paragrafie (24.3.4) [1] podstawiając $v = g + x$ modyfikujemy równanie (3.4):

$$\begin{aligned} RrC(g+x)' + (R+r)(g+x) &= rx + RrCx' \\ RrCg' + RrCx' + (R+r)g + (R+r)x &= rx + RrCx' \\ RrCg' + (R+r)g &= (r - (R+r))x + (RrC - RrC)x' \\ RrCg' + (R+r)g &= -Rx \end{aligned} \quad (3.6)$$

i rozwiązujemy je w sposób analogiczny. Pamiętajmy jednak, że ostatecznym rozwiązaniem będzie sygnał postaci:

$$v = \lambda x + h_g * x,$$

gdzie h_g jest *odpowiedzią impulsową* obliczoną z równania (3.6).

Weźmy zatem transformaty Fouriera po obu stronach równania (3.6):

$$\begin{aligned} RrC\hat{g}' + (R+r)\hat{g} &= -R\hat{x} \\ RrC(2i\pi\lambda)\hat{g} + (R+r)\hat{g} &= -R\hat{x} \\ (RrC(2i\pi\lambda) + (R+r))\hat{g} &= -R\hat{x} \\ \hat{g} &= \frac{-R}{RrC(2i\pi\lambda) + (R+r)}\hat{x} \end{aligned}$$

Widzimy stąd, że tym razem iloraz wielomianów wygląda:

$$\frac{P_0(z)}{Q_0(z)} = \frac{-R}{RrCz + (R+r)} = -\frac{1}{rC} \frac{1}{z + \frac{R+r}{RrC}}$$

czyli posiada jeden pierwiastek rzeczywisty $z_0 = -\frac{R+r}{RrC}$ taki, że $\Re(z_0) < 0$.

Korzystając teraz ze wzoru (24.11) [1] możemy określić *odpowiedź impulsową* filtru opisanego równaniem (3.6):

$$h_g(t) = -\frac{1}{rC}e^{z_0 t}u(t) = -\frac{1}{rC}e^{-\frac{R+r}{RrC}t}u(t).$$

Stąd dla dowolnego sygnału $x(t)$ na wejściu filtru otrzymamy następujący sygnał wyjściowy $g(t)$:

$$g(t) = (h_g * x)(t) = -\frac{1}{rC} \int_{-\infty}^{\infty} e^{-\frac{R+r}{RrC}(t-s)} u(t-s) x(s) ds$$

$$= -\frac{1}{rC} \int_{-\infty}^t e^{-\frac{R+r}{RrC}(t-s)} x(s) ds.$$

W szczególności dla sygnału $u(t)$ mamy:

$$\begin{aligned} g_1(t) &= (h_g * u)(t) = -\frac{1}{rC} \left(\int_{-\infty}^{\infty} e^{z_0(t-s)} u(t-s) u(s) ds \right) u(t) \\ &= -\frac{1}{rC} \left(\int_0^t e^{z_0(t-s)} ds \right) u(t) = -\frac{1}{rC} \left(\left[-\frac{1}{z_0} e^{z_0(t-s)} \right]_{s=0}^t \right) u(t) \\ &= \frac{1}{rC z_0} (1 - e^{z_0 t}) u(t) = -\frac{R}{R+r} (1 - e^{-\frac{R+r}{RrC} t}) u(t) \end{aligned}$$

Aby teraz wyznaczyć *krok odpowiedzi* dla filtru opisanego równaniem (3.4), skorzystamy z przytoczonego wcześniej wzoru:

$$v = \lambda x + h_g * x.$$

Podstawiając $\lambda = 1$, $x = u$ i $(h_g * u)(t) = g_1(t)$ otrzymujemy ostatecznie:

$$\begin{aligned} h_1(t) &= u(t) - \frac{R}{R+r} (1 - e^{-\frac{R+r}{RrC} t}) u(t) \\ &= \left(1 - \frac{R}{R+r} \right) u(t) + \frac{R}{R+r} e^{-\frac{R+r}{RrC} t} u(t) \\ &= \frac{r}{R+r} u(t) + \frac{R}{R+r} e^{-\frac{R+r}{RrC} t} u(t) \\ &= \frac{1}{R+r} (r + R e^{-\frac{R+r}{RrC} t}) u(t). \end{aligned}$$

3.3 Przypadek, gdy $r \ll R$

Przyjrzyjmy się raz jeszcze obliczonej dla tego układu *funkcji przenoszenia*, przypominając wzór (3.5):

$$H(\lambda) = 1 - \frac{1}{rC} \frac{1}{2i\pi\lambda + \frac{R+r}{RrC}},$$

który przedstawimy w postaci

$$H(\lambda) = 1 - \frac{1}{rC(2i\pi\lambda) + (1 + \frac{r}{R})}.$$

Zakładając warunek $r \ll R$, możemy w naszych rozważaniach opuścić wyraz $\frac{r}{R}$, który jest wówczas bliski zeru. Zatem

$$H(\lambda) \approx 1 - \frac{1}{rC(2i\pi\lambda) + 1}. \quad (3.7)$$

Zauważamy, iż drugi wyraz powyższej różnicy jest wzorem na *funkcję przenoszenia* dla *filtru RC* o rezystancji r i kondensatorze C . Oznaczając ją przez H_0 mamy

$$H(\lambda) \approx 1 - H_0(\lambda). \quad (3.8)$$

Z paragrafu (2.4.3) w [1] wiemy, że filtr opisany *transmitancją* postaci H_0 jest filtrem *dolnoprzepustowym*, tzn. przepuszcza w postaci niezmięnionej sygnał o niskich częstotliwościach, natomiast im częstotliwości są wyższe na wejściu filtru tym bardziej są tłumione.

Z postaci równania (3.8) możemy mieć pewne podejrzenia, iż rozważany filtr nie będzie *dolnoprzepustowym*. W tym celu zbadajmy jak zachowuje się *widmo energii* $|H(\lambda)|^2$ dla funkcji przenoszenia (3.7) przy bliskich zeru oraz nieskończenie wysokich częstotliwościach.

Oznaczając przez $\beta = 2\pi rC$ przekształcimy na początek wzór (3.7),

$$\begin{aligned} H(\lambda) &\approx 1 - \frac{1}{rC(2i\pi\lambda) + 1} = 1 - \frac{1}{\beta i\lambda + 1} = 1 - \frac{\beta i\lambda - 1}{\beta^2 i^2 \lambda^2 - 1} \\ &= 1 + \frac{\beta i\lambda - 1}{\beta^2 \lambda^2 + 1} = \frac{\beta^2 \lambda^2}{\beta^2 \lambda^2 + 1} + i \frac{\beta \lambda}{\beta^2 \lambda^2 + 1}, \end{aligned}$$

który w tej postaci możemy wykorzystać do obliczenia *widma energii*:

$$\begin{aligned} |H(\lambda)|^2 &= H(\lambda) \cdot \overline{H(\lambda)} \approx \left(\frac{\beta^2 \lambda^2}{\beta^2 \lambda^2 + 1} + i \frac{\beta \lambda}{\beta^2 \lambda^2 + 1} \right) \cdot \left(\frac{\beta^2 \lambda^2}{\beta^2 \lambda^2 + 1} - i \frac{\beta \lambda}{\beta^2 \lambda^2 + 1} \right) \\ &= \left(\frac{\beta^2 \lambda^2}{\beta^2 \lambda^2 + 1} \right)^2 - i^2 \left(\frac{\beta \lambda}{\beta^2 \lambda^2 + 1} \right)^2 = \frac{(\beta^2 \lambda^2)^2 + (\beta \lambda)^2}{(\beta^2 \lambda^2 + 1)^2} \\ &= \frac{\beta^2 \lambda^2 (\beta^2 \lambda^2 + 1)}{(\beta^2 \lambda^2 + 1)^2} = \frac{\beta^2 \lambda^2}{\beta^2 \lambda^2 + 1} = \frac{4\pi^2 (rC)^2 \lambda^2}{4\pi^2 (rC)^2 \lambda^2 + 1}. \end{aligned}$$

Teraz możemy przejść do analizy przypadków granicznych. Przy niskich częstotliwościach mamy:

$$\lim_{\lambda \rightarrow 0} |H(\lambda)|^2 \approx \frac{4\pi^2 (rC)^2 0^2}{4\pi^2 (rC)^2 0^2 + 1} = \frac{0}{0 + 1} = 0,$$

natomiast przy nieskończenie wysokich:

$$\lim_{\lambda \rightarrow \pm\infty} |H(\lambda)|^2 \approx \lim_{\lambda \rightarrow \pm\infty} \left(\frac{4\pi^2(rC)^2\lambda^2}{4\pi^2(rC)^2\lambda^2 + 1} \right) = \lim_{\lambda \rightarrow \pm\infty} \left(\frac{1}{1 + \frac{1}{4\pi^2(rC)^2\lambda^2}} \right) = 1.$$

Widzimy zatem, że rozważany układ przepuszcza sygnały o wysokich częstotliwościach, natomiast im niższe częstotliwości podajemy na wejściu obwodu, tym bardziej będą one osłabiane. Jest to własność charakteryzująca *filtry górnoprzepustowe*, do których możemy zaliczyć nasz układ, jeśli tylko spełnione jest założenie, iż $r \ll R$.

Bibliografia

- [1] GASQUET, C., WITOMSKI, P., *Fourier analysis and applications*, Springer, 1999.
- [2] HALLIDAY, D., RESNICK, R., *Fizyka, tom 2*, PWN, 2002, str. 332-339.